

对 Sosemanuk 算法改进的猜测决定攻击*

谢端强¹, 李恒¹, 李瑞林², 戴清平¹

(1. 国防科技大学 理学院, 湖南长沙 410073;
2. 国防科技大学 电子科学与工程学院, 湖南长沙 410073)

摘要: Sosemanuk 算法是欧洲 eSTREAM 计划最终获选的七个算法之一。从比特层面对该算法进行剖析, 通过对 Serpent1 组件 S 盒、模 2^{32} 加法和线性反馈移位寄存器的研究, 找到了关于内部状态的一个方程组, 并利用 Groebner 基方法改进了对 Sosemanuk 算法基于字的猜测决定攻击。结果表明只需要猜测 7 个 32 比特的字就可以完全确定出其余 5 个 32 比特的内部状态, 其攻击的复杂度为 $O(2^{192})$ 。

关键词: eSTREAM 计划; Sosemanuk 算法; 猜测决定攻击; Groebner 基

中图分类号: TN918.1 **文献标志码:** A **文章编号:** 1001-2486(2012)06-0079-05

Improved guess-and-determine attack on sosemanuk

XIE Duanqiang¹, LI Heng¹, LI Ruilin², DAI Qingping¹

(1. College of Science, National University of Defense Technology, Changsha 410073, China;

2. College of Electronic Science and Engineering, National University of Defense Technology, Changsha 410073, China)

Abstract: Sosemanuk is one of the stream ciphers that have been selected into the final portfolio for the eSTREAM project. Sosemanuk from the view point of bit-level was described. By studying the S-box of Serpent1, the modular addition, and the linear feedback shift register, a kind of equation between the bits of the internal states was obtained, based on which an improved word-oriented guess-and-determine attack on Sosemanuk is proposed. This improved attack utilizes the Groebner basis method to solve the equation system and can determine the other 5 words of the internal state by guessing just 7 words, and thus the complexity is proved to be $O(2^{192})$.

Key words: eSTREAM project; Sosemanuk; guess-and-determine attack; Groebner basis

Sosemanuk 算法^[2]是欧洲 eSTREAM 计划^[1]最终获选的七个候选算法之一。Sosemanuk 算法设计思想源于流密码 SNOW2.0^[3]和分组密码 Serpent^[4], 是一种新型的面向软件的同步流密码, 该算法的密钥长度在 128 和 256 比特之间。

猜测决定攻击是一种很常用分析流密码的方法。其分析过程分为三个过程: 首先猜测部分内部状态, 其次由猜测的内部状态决定出其余的内部状态, 最后根据密钥流检验猜测内部状态的正确性。猜测决定攻击已被应用到很多流密码算法的分析中^[3,5-6,12-13]。Sosemanuk 算法的设计者给出一种非常粗略的基于字的猜测决定攻击方法^[2], 其复杂度为 $O(2^{256})$ 。文献[7-8]找到了不同的限制关系式, 给出了更精确的基于字的猜测决定攻击的方法, 其复杂度分别为 $O(2^{226})$ 和 $O(2^{224})$ 。文献[9,14]都给出了复杂度为 $O(2^{192})$ 的猜测决定攻击, 但是他们在分析过程都忽略了同样的问题: Sosemanuk 算法中 Serpent1 要求一

次处理连续 4 个字(共 128 比特), 因此, 攻击的复杂度达不到 $O(2^{192})$ 。文献[10]在基于字节分析的基础上给出了复杂度为 $O(2^{176})$ 的猜测决定攻击, 这是目前已知最好的分析结果。

本文分析了 Sosemanuk 算法内部状态在比特层面上的关系式, 通过对 Serpent1 组件 S 盒、模 2^{32} 加法以及线性反馈移位寄存器的研究, 找到了关于算法内部状态的一个方程组。在此基础上, 攻击者只需猜测一个内部状态, 利用 Grobner 基方法就可以完全确定出另外一个内部状态。从而使得基于字的猜测决定攻击方法需要猜测的内部状态减少 32 比特, 攻击的复杂度达到 $O(2^{192})$ 。

1 Sosemanuk 算法简介

Sosemanuk 算法由 $GF(2^{32})$ 上的线性反馈移位寄存器(LFSR)、有限状态机(FSW)和 Serpent1 组成。其原理结构如图 1(\oplus 代表模 2 加, \boxplus 代表模 2^{32})。

* 收稿日期: 2012-03-22

基金项目: 国家自然科学基金资助项目(61070215, 61103192)

作者简介: 谢端强(1966—), 男, 教授, 硕士生导师, E-mail: dqxie001@163.com

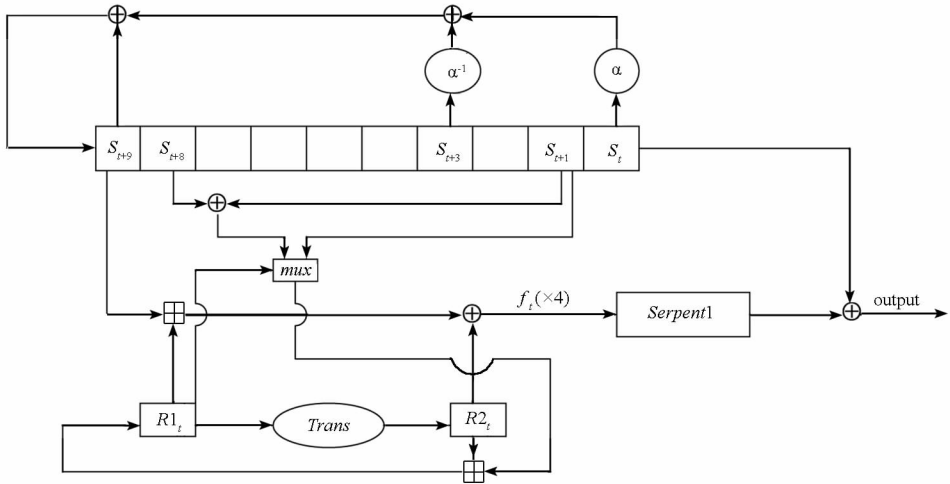


图 1 Sosemanuk 算法流程图

Fig. 1 The structure of Sosemanuk

1.1 线性反馈移位寄存器

线性反馈移位寄存器的反馈多项式为

$$\pi(X) = \alpha X^{10} + \alpha^{-1} X^{17} + X + 1 \in F_{2^{32}}[X] \quad (1)$$

其中 α 是如下本元多项式的根:

$$P(X) = X^4 + \beta^{23} X^3 + \beta^{245} X^2 + \beta^{48} + \beta^{239} \in F_{2^8}[X]$$

其中 β 是如下本元多项式的根:

$$Q(X) = X^8 + X^7 + X^5 + X^3 + 1 \in F_2[X]$$

线性反馈移位寄存器的更新函数为

$$s_{t+10} = s_{t+9} + \alpha^{-1} s_{t+3} + \alpha s_t, \forall t \geq 1 \quad (2)$$

1.2 有限状态机

FSM 包含两个 32 比特的存储器 $R1$ 和 $R2$ 。每一步将线性反馈寄存器中的 $(s_{t+1}, s_{t+8}, s_{t+9})$ 作为输入,再输出一个 32 比特的字。对于 $t \geq 1$,更新过程如下

$$(R1_{t-1}, R2_{t-1}, s_{t+1}, s_{t+8}, s_{t+9}) \rightarrow (R1_t, R2_t, f_t) \quad (3)$$

$$R1_t = (R2_{t-1} + \text{mux}(\text{lsb}(R1_{t-1}), s_{t+1}, s_{t+1} + s_{t+8})) \bmod 2^{32} \quad (4)$$

$$R2_t = \text{Trans}(R1_{t-1}) \quad (5)$$

$$f_t = (s_{t+9} + R1_t \bmod 2^{32}) \oplus R2_t \quad (6)$$

1.3 输出函数

Sosemanuk 算法的输出函数用到了 Serpent1 函数。Serpent1 函数是分组密码 Serpent 的一轮输出函数,以 bit-slice 模式运算,最终输出的密钥流 $z_t, t \geq 1$:

$$(z_{t+3}, z_{t+2}, z_{t+1}, z_t) = \text{Serpent1}(f_{t+3}, f_{t+2}, f_{t+1}, f_t) \oplus (s_{t+3}, s_{t+2}, s_{t+1}, s_t) \quad (7)$$

2 Sosemanuk 算法的组件结构分析

Sosemanuk 算法的设计吸收了 serpent 算法和

Snow2.0 算法的优点。与 Snow2.0 算法相比, Sosemanuk 算法减少内部状态来达到其加解密效率。算法中 Serpent1 组件通过并列的 32 个 S 盒、以 bit-slice 模式,每次处理连续 4 个字。Serpent1 组件对其安全性有至关重要的影响。所以要在比特的关系式上对 Serpent1 进行分析。

2.1 Sosemanuk 算法的代数结构

$GF(2^{32})$ 是在 $GF(2)$ 上先由多项式 $Q(X)$ 进行扩张,此时 $\{1, \beta, \beta^2, \dots, \beta^7\}$ 为其一组基。在此扩域上再由多项式 $P(X)$ 进行扩张,此时 $\{1, \alpha, \alpha^2, \alpha^3\}$ 为其一组基。于是 $\forall X \in GF(2^{32}), X$ 可以有以下几种表示方法:

(1) 向量表示:

$$X = (x_{31}, x_{30}, \dots, x_1, x_0),$$

其中 $x_i, i = 0, 1, \dots, 31$ 为 X 的第 i 比特;

(2) 字节表示:

$$X = X^{(3)} \parallel X^{(2)} \parallel X^{(1)} \parallel X^{(0)},$$

其中 $X^{(i)}, i = 0, 1, 2, 3$ 表示 8 个比特的字节;

(3) 基表示:

$$\begin{aligned} X = & (x_{31}\beta^7 + x_{30}\beta^6 + \dots + x_{24})\alpha^3 \\ & + (x_{23}\beta^7 + x_{22}\beta^6 + \dots + x_{16})\alpha^2 \\ & + (x_{15}\beta^7 + x_{14}\beta^6 + \dots + x_8)\alpha^1 \\ & + (x_7\beta^7 + x_6\beta^6 + \dots + x_0) \end{aligned}$$

2.2 Sosemanuk 算法在比特层面上的表达式

Sosemanuk 算法是处理字的加密方法。文献 [10] 给出了其在字节层面上的表达形式,本文给出其在比特层面上的表达形式。在线性反馈移位寄存器的更新函数中出现了 $\alpha^{-1}X$ 和 αX 这两项,现在我们来讨论它们该如何表示。首先讨论 $\alpha^{-1}X$ 的表达形式。

由于 α 是多项式 $P(X)$ 的根,所以有

$$\alpha^4 + \beta^{23} \alpha^3 + \beta^{245} \alpha + \beta^{239} = 0$$

经过变换可得

$$\alpha^{-1} = \beta^{16} \alpha^3 + \beta^{39} \alpha^2 + \beta^6 \alpha + \beta^{64}$$

设 $X = (c_{31}, c_{30}, \dots, c_1, c_0)$, $\alpha^{-1}X = (c'_{31}, c'_{30}, \dots, c'_1, c'_0)$ 。

故

$$\begin{aligned} \alpha^{-1}X &= \alpha^{-1}(X^{(3)}\alpha^3 + X^{(2)}\alpha^2 + X^{(1)}\alpha + X^{(0)}) \\ &= \beta^{16} \left(\sum_{i=0}^7 c_i \beta^i \right) \alpha^3 + \left(\sum_{i=24}^{31} c_i \beta^i + \beta^{39} \sum_{i=0}^7 c_i \beta^i \right) \alpha^2 \\ &+ \left(\sum_{i=16}^{23} c_i \beta^i + \beta^6 \sum_{i=0}^7 c_i \beta^i \right) \alpha \\ &+ \left(\sum_{i=8}^{15} c_i \beta^i + \beta^{64} \sum_{i=0}^7 c_i \beta^i \right) \\ &\triangleq \left(\sum_{i=0}^7 c'_{24+i} \beta^i \right) \alpha^3 + \left(\sum_{i=0}^7 c'_{16+i} \beta^i \right) \alpha^2 \\ &+ \left(\sum_{i=0}^7 c'_{8+i} \beta^i \right) \alpha + \left(\sum_{i=0}^7 c'_i \beta^i \right) \end{aligned}$$

其中

$$\begin{aligned} \beta^{16} \left(\sum_{i=0}^7 c_i \beta^i \right) &= c_0 \beta^{16} + c_1 \beta^{17} + c_2 \beta^{18} + c_3 \beta^{19} \\ &+ c_4 \beta^{20} + c_5 \beta^{21} + c_6 \beta^{22} + c_7 \beta^{23} \\ &= (c_7 + c_6 + c_3) \beta^7 + (c_7 + c_5 + c_3 + c_2) \beta^6 \\ &+ (c_7 + c_6 + c_4 + c_2 + c_1) \beta^5 + (c_5 + c_1 + c_0) \beta^4 \\ &+ (c_4 + c_0) \beta^3 + c_6 \beta^2 + c_5 \beta + (c_7 + c_4) \end{aligned}$$

所以有

$$\begin{aligned} c'_{31} &= c_7 + c_6 + c_3; \quad c'_{30} = c_7 + c_5 + c_3 + c_2; \\ c'_{29} &= c_7 + c_6 + c_4 + c_2 + c_1; \quad c'_{28} = c_5 + c_1 + c_0; \\ c'_{27} &= c_4 + c_0; \quad c'_{26} = c_6; \\ c'_{25} &= c_5; \quad c'_{24} = c_7 + c_4. \end{aligned}$$

同理可得 $\alpha^{-1}X$ 的每个比特的具体表达式,如表 1。

按照同样的方法很容易得出 αX 的每个比特的具体表达式。

表 1 $\alpha^{-1}X$ 的每个比特的表达式

Tab. 1 The expression of each bit in $\alpha^{-1}X$

位置	c'_i 取值	位置	c'_i 取值
$i=0$	$c_8 + c_7 + c_4 + c_1 + c_0$	$i=16$	$c_{24} + c_7 + c_5 + c_0$
$i=1$	$c_9 + c_5 + c_2 + c_1$	$i=17$	$c_{25} + c_6 + c_1 + c_0$
$i=2$	$c_{10} + c_6 + c_3 + c_2 + c_0$	$i=18$	$c_{26} + c_7 + c_2 + c_1 + c_0$
$i=3$	$c_{11} + c_3 + c_1$	$i=19$	$c_{27} + c_7 + c_5 + c_3 + c_2 + c_1 + c_0$
$i=4$	$c_{12} + c_4 + c_1$	$i=20$	$c_{28} + c_6 + c_4 + c_3 + c_2 + c_1$
$i=5$	$c_{13} + c_7 + c_5 + c_4 + c_2 + c_1$	$i=21$	$c_{29} + c_4 + c_3 + c_2$
$i=6$	$c_{14} + c_6 + c_5 + c_3 + c_2 + c_0$	$i=22$	$c_{30} + c_5 + c_4 + c_3$
$i=7$	$c_{15} + c_6 + c_3 + c_0$	$i=23$	$c_{31} + c_7 + c_6 + c_4$
$i=8$	$c_{16} + c_7 + c_6 + c_4 + c_3 + c_2$	$i=24$	$c_7 + c_4$
$i=9$	$c_{17} + c_7 + c_5 + c_4 + c_3$	$i=25$	c_5
$i=10$	$c_{18} + c_6 + c_5 + c_4$	$i=26$	c_6
$i=11$	$c_{19} + c_4 + c_5 + c_3 + c_2$	$i=27$	$c_4 + c_0$
$i=12$	$c_{20} + c_6 + c_4 + c_5 + c_3$	$i=28$	$c_5 + c_1 + c_0$
$i=13$	$c_{21} + c_5 + c_3 + c_2$	$i=29$	$c_7 + c_6 + c_4 + c_2 + c_1$
$i=14$	$c_{22} + c_6 + c_4 + c_3 + c_0$	$i=30$	$c_7 + c_5 + c_3 + c_2$
$i=15$	$c_{23} + c_6 + c_5 + c_3 + c_2 + c_1$	$i=31$	$c_7 + c_6 + c_3$

2.3 Serpent1 函数中 S 盒的性质

Serpent1 中 S 盒定义^[2]为: $S(x) = \{8, 6, 7, 9, 3, 12, 10, 15, 13, 1, 14, 4, 0, 11, 5, 2\}$. 不妨设进入 S 盒的四个比特分别为 x_3, x_2, x_1, x_0 , 经过 S 盒后的 4 个比特记为: y_3, y_2, y_1, y_0 . 由 S 盒的定义可以得到以下布尔函数:

$$\begin{cases} x_0 = y_0 + y_1 + y_2 + y_1 y_2 + y_1 y_3 \\ x_1 = y_1 + y_0 y_1 + y_2 + y_0 y_3 + y_0 y_1 y_3 \\ \quad + y_2 y_3 + y_0 y_2 y_3 \\ x_2 = y_0 + y_0 y_1 + y_2 + y_3 + y_0 y_3 + y_1 y_3 \\ \quad + y_0 y_1 y_3 + y_0 y_2 y_3 + 1 \\ x_3 = y_0 y_1 + y_1 y_2 + y_0 y_1 y_2 + y_3 \\ \quad + y_0 y_2 y_3 + 1 \end{cases} \quad (8)$$

可以看出 x_0 是关于 y_3, y_2, y_1, y_0 的一个 2 次布尔函数。

2.4 运算田的展开式

设 $X, Y, Z \in GF(2^{32})$, 其中 $X = (x_{31}, \dots, x_0)$, $Y = (y_{31}, \dots, y_0)$, $Z = (z_{31}, \dots, z_0)$, 则 $Z = X \text{ 田 } Y$ 按照分量可以展开为^[11]

$$\begin{cases} z_0 = x_0 + y_0 \\ z_1 = x_1 + y_1 + x_0 y_0 \\ z_2 = x_2 + y_2 + x_1 y_1 + (x_1 + y_1)(x_1 + y_1 + z_1) \\ \vdots \\ z_i = x_i + y_i + x_{i-1} y_{i-1} + (x_{i-1} + y_{i-1})(x_{i-1} + y_{i-1} + z_{i-1}) \\ \vdots \\ z_{31} = x_{31} + y_{31} + x_{30} y_{30} + (x_{30} + y_{30})(x_{30} + y_{30} + z_{30}) \end{cases} \quad (9)$$

3 对 Sosemanuk 算法的猜测决定攻击

从对 Sosemanuk 算法已有的面向字的猜测决定分析的文献[2, 7-9, 14]中可以看出, 猜测决定过程一般分为两个部分: 第一部分至少猜测 6 个字才可以决定出 s_5, s_6 和 s_{10} , 但是决定不出 s_7, s_8, s_9 ; 第二部分还需在 s_7, s_8 和 s_9 中至少猜测两个字才能决定出另外一个状态。这样分析的复杂度就会很高。本文在此基础上进行了改进, 其中第一部分的分析过程与已有的分析过程类似, 具体可见文献[8]; 第二部分运用第 2 节给出的性质, 只需在 s_7, s_8 和 s_9 中猜测 s_8 一个字, 就能找到相应的状态方程, 并利用 Grobner 基等方法决定出其余的两个状态。

首先假设 $lsb(R1_0) = 0$, 于是 (4) 式可以简化为

$$R1_1 = R2_0 \oplus s_2 \quad (4')$$

对 Sosemanuk 算法的猜测决定攻击过程如下

第一步 选取密钥流 z_1, z_2, z_3, z_4 , 猜测 $s_1, s_2,$

$s_3, s_4, R1_0, R2_0$, 决定 s_5, s_6, s_{10}

首先, 可以按照以下步骤决定出 $f_1, f_2, f_3, f_4,$

$R1_1, R1_2, R2_1, R2_2, s_{10}, s_{11}$ 。

$$\begin{cases} \{z_4 \oplus s_4, z_3 \oplus s_3, z_2 \oplus s_2, z_1 \oplus s_1\} \xrightarrow{(7)} \{f_4, f_3, f_2, f_1\} \\ \{R2_0, s_2\} \xrightarrow{(4')} R1_1, R1_0 \xrightarrow{(5)} R2_1 \\ \{f_1, R1_1, R2_1\} \xrightarrow{(6)} s_{10}, \{s_{10}, s_4, s_1\} \xrightarrow{(5)} s_{11} \\ \{R2_1, R1_1, s_3, s_{11}\} \xrightarrow{(4')} R1_2, R1_1 \xrightarrow{(5')} R2_2 \end{cases}$$

$$\begin{cases} g_0 + c_0 \bar{n}_0 = c'_0 + a_0 + b_0, \\ g_1 + c_1 \bar{n}_1 = c'_1 + a_1 + b_1 + (c'_0 + a_0) b_0, \\ g_2 + c_2 \bar{n}_2 = c'_2 + a_2 + b_2 + (c'_1 + a_1) b_1 + (c'_1 + a_1 + b_1)(c'_1 + a_1 + b_1 + g_1 + c_1 \bar{n}_1), \\ \vdots \\ g_i + c_i \bar{n}_i = c'_i + a_i + b_i + (c'_{i-1} + a_{i-1}) b + (c'_{i-1} + a_{i-1} + b_{i-1})(c'_{i-1} + a_{i-1} + b_{i-1} + g_{i-1} + c_{i-1} \bar{n}_{i-1}), \\ \vdots \\ g_{31} + c_{31} \bar{n}_{31} = c'_{31} + a_{31} + b_{31} + (c'_{31} + a_{31}) b_{31} + (c'_{31} + a_{31} + b_{31})(c'_{31} + a_{31} + b_{31} + g_{31} + c_{31} \bar{n}_{31}). \end{cases} \quad (11)$$

但是另一方面,

$$f_2 = (s_{11} \text{ 田 } R1_2) \oplus R2_2 \quad (*)$$

这里 $f_2, s_{11}, R1_2, R2_2$ 都可以由猜测的字决定出来, 并且它们还要满足此方程, 所以此时可以使初始猜测状态空间降低 2^{-32} 。

下面可以决定出: $s_5, s_6, s_{12}, s_{13}, R1_3, R2_3, R1_4, R2_4, R1_5, R2_5, R1_6$ 。

$$\begin{cases} \{R2_2, R1_2, s_4, s_{11}\} \xrightarrow{(4)} R1_3, R1_2 \xrightarrow{(5)} R2_3 \\ \{f_3, R1_3, R2_3\} \xrightarrow{(6)} s_{12}, \{s_{12}, s_{11}, s_2\} \xrightarrow{(2)} s_5 \\ \{R2_3, R1_3, s_5, s_{12}\} \xrightarrow{(4)} R1_4, R1_3 \xrightarrow{(5)} R2_4 \\ \{f_4, R1_4, R2_4\} \xrightarrow{(6)} s_{13}, \{s_{13}, s_{12}, s_3\} \xrightarrow{(2)} s_6 \\ \{R2_4, R1_4, s_6, s_{13}\} \xrightarrow{(4)} R1_5, R1_4 \xrightarrow{(5)} R2_5 \\ R1_5 \xrightarrow{(5)} R2_6 \end{cases}$$

第二步 选取密钥流 z_5, z_6, z_7, z_8 , 猜测 s_8 , 决定 s_7

根据 Sosemanuk 算法的更新过程可得

$$\begin{cases} s_{14} = s_{13} \oplus \alpha^{-1} s_7 \oplus \alpha s_4 \\ f_5 = (s_{14} \text{ 田 } R1_5) \oplus R2_5 \end{cases}$$

$$\text{即 } f_5 = ((s_{13} \oplus \alpha^{-1} s_7 \oplus \alpha s_4) \text{ 田 } R1_5) \oplus R2_5 \quad (**)$$

另一方面, 可以选取密钥流 z_5, z_6, z_7, z_8 , 根据 Serpent1 中 S 盒的性质得到如下关系式:

$$(f_5)_i = m_i + n_i + (c_i + e_i) + n_i(c_i + e_i) + n_i o_i, \quad i = 0, \dots, 31 \quad (***)$$

其中

$$\begin{aligned} M &= (m_{31}, m_{30}, \dots, m_1, m_0) = s_5 \oplus z_5, \\ N &= (n_{31}, n_{30}, \dots, n_1, n_0) = s_6 \oplus z_6, \\ s_7 &= (c_{31}, c_{30}, \dots, c_1, c_0), z_7 = (e_{31}, \dots, e_1, e_0), \\ O &= (o_{31}, o_{30}, \dots, o_1, o_0) = s_8 \oplus z_8. \end{aligned}$$

设 $R2_5 = (d_{31}, \dots, d_1, d_0), R1_5 = (b_{31}, \dots, b_1, b_0), s_{13} \oplus \alpha s_4 = (a_{31}, \dots, a_1, a_0), n_i + 1 \triangleq \bar{n}_i, g_i = m_i + n_i + e_i + n_i e_i + n_i o_i + d_i, 0 \leq i \leq 31$ 根据 (**) 和 (***) 式, 消去 $(f_5)_i$ 得

$$\begin{aligned} &((s_{13} \oplus \alpha^{-1} s_7 \oplus \alpha s_4) \text{ 田 } R1_5)_i \oplus (R2_5)_i \\ &= m_i + n_i + (c_i + e_i) + n_i(c_i + e_i) + n_i o_i, i = 0, \dots, 31 \end{aligned}$$

$$\text{即 } X \text{ 田 } R1_5 = \bar{Z} \quad (10)$$

其中 $x_i = a_i + c'_i, \bar{z}_i = m_i + n_i + (c_i + e_i) + n_i(c_i + e_i) + n_i o_i + o_i = g_i + c_i \bar{n}_i, i = 0, \dots, 31$ 。

再由第 2.4 节中关于田运算 (9) 的分解形式可以把 (10) 式按照比特展开得到

对此方程组而言, $a_i, b_i, g_i, \bar{n}_i, i = 0, \dots, 31$ 都为已知, c_i 即为前面表 1 中数据, 且方程的最高次数为 2 次, 根据 Groebner 基方法^[15] 可以解出 c_i 的值, 即确定 s_7 的值。

第三步 决定 s_9

再由以下关系式即可确定 s_9 的值。

$$\{R2_5, R1_5, s_7, s_{14}\} \xrightarrow{(4)} R1_6, \{f_6, R1_6, R2_6\} \xrightarrow{(6)} s_{15}$$

$$\{R2_6, R1_6, s_8, s_{15}\} \xrightarrow{(4)} R1_7, R1_6 \xrightarrow{(5)} R1_7$$

$$\{f_7, R1_7, R2_7\} \xrightarrow{(6)} s_{16}, \{s_{16}, s_{15}, s_6\} \xrightarrow{(2)} s_9$$

到此已经把 $s_1, s_2, s_3, s_4, s_5, s_6, s_7, s_8, s_9, s_{10}, R1_1, R2_1$ 这 12 个连续的中间状态完全确定下来了。

4 攻击的复杂度

猜测之前我们假设 $lsb(R1_0) = 0$, 此式以 1/2 的概率成立。在第一步中需要猜测 191 比特经过等式 (*) 限制后可以淘汰 2^{-32} 的猜测空间。在第二步中又需要猜测 32 个比特的位置。故其复杂度:

$$T = 2^{191} \times 2^{-32} \times 2^1 \times 2^{32} = 2^{192}.$$

另外, 在猜测决定阶段需要 8 个字的密钥流, 在测试阶段还需要 8 个字的密钥流, 所以此分析

方法共需要 16 个字的密钥流。

对 Sosemanuk 算法的猜测决定攻击分为两类, 一类是面向字的, 另一类是面向字节的。对此算法的分析已有的结果见表 2, 可知本文的结果在面向字的猜测决定攻击中是最优的。

5 结束语

本文改进了对 Sosemanuk 算法基于字的猜测决定攻击, 攻击复杂度达到了 $O(2^{192})$, 这在基于字的猜测决定攻击中是最优的。本文首先分析了 Sosemanuk 算法中内部状态在比特层面上的关系式; 接着对此算法的 Serpent1 组件中 S 盒的性质进行了分析; 最后结合模 2^{32} 加法在比特层面上的具体展开形式, 找到了关于线性反馈移位寄存器内部状态的一个方程组。这样, 在猜测一个内部状态的前提下, 利用 Groebner 基方法可以完全确定出另外一个内部状态。从而使得需要猜测的内部状态减少 32 比特。下一步将考虑如何基于本文所给的方法来进一步提高对 Sosemanuk 算法基于字节的猜测决定攻击效率。

表 2 Sosemanuk 算法已有的猜测决定分析结果比较

Tab. 2 The results of guess-and-determine attack on sosemanuk

基于字(32 比特)的猜测决定攻击			基于字节(8 比特)的猜测决定攻击		
文献	[2]	[7]	[8]	本文结果	[10]
复杂度	$O(2^{256})$	$O(2^{226})$	$O(2^{224})$	$O(2^{192})$	$O(2^{176})$

参考文献 (References)

[1] The eSTREAM project [EB/OL]. [2012-2-11]. <http://www.ecrypt.eu.org/stream/>.

[2] Berbain C, Billet O, Canteaut A, et al. SOSEMANUK: A fast Software-oriented stream cipher [M]//New Stream Cipher Designs: The eSTREAM Finalists. Berlin, Germany: Springer-Verlag, 2008.

[3] Ekdahl P, Johansson T. A new version of the stream cipher SNOW [C]//Proceedings of SAC'03. Berlin, Germany: Springer-Verlag, 2003.

[4] Biham E, Anderson R, Knudsen L. SERPENT: A new block cipher proposal [C]//Proceedings of FSE'98, LNCS 1372, Springer, 1998: 222-238.

[5] Hawks P, Rose G. Guess and determine attacks on SNOW [C]//Proceedings of SAC 2002, LNCS 2595, Springer, 2003: 37-46.

[6] Cannier C D. Guess and determine attacks on SNOW [EB/OL]. [2012-02-01]. <http://www.cryptonessie.org>.

[7] Ahmadi H, Eghlidis T, Khazaei S. Impr-oved guess and determine attack on SOSEMANUK [EB/OL]. [2012-02-11]. <http://www.ecrypt.eu.org/stream/papersdir/085.pdf>.

[8] Tsunoo Y, Saito T, Shigeri M, et al. Evaluation of SOSEMANUK with regard to guess and determine attacks [EB/OL]. [2012-01-02].

<http://www.ecrypt.eu.org/stream/papersdir/2006/009.pdf>.

[9] Ding L, Guan J. Guess and determine attack on SOSEMANUK [C]//Proceedings of ISA'09, Xi'an, China, 2009.

[10] Feng X, Liu J, et al. A Byte-based guess and determine attack on SOSEMANUK [C]//Proceedings of ASIACRYPT 2010, LNCS 6477, Springer, 2010: 146-157.

[11] Courtois N, Debraize B. Algebraic description and simultaneous linear approximations of addition in snow 2.0 [C]//Proceedings of ICICS, LNCS 5308, Springer, 2008: 146-157.

[12] Lu Y, Wang H, Ling S. Cryptanalysis of rabbit [C]//Proceedings of ISC2008, LNCS 5222, Springer, 2008: 204-214.

[13] Abdelraheem M A, Borghoff J, et al. Cryptanalysis of the iight-weight cipher A2U2 [C]// Proceedings of Cryptography and Coding 2011, LNCS 7089, Springer, 2011: 375-390.

[14] 张海霞, 胡予濮, 柴进. 针对 SOSEMANUK 的猜测-确定攻击 [J]. 计算机工程, 2011, 37(4), 170-171.

ZHANG Haixia, HU Yupu, CAI Jin. Guess and determine attack on SOSEM-ANUK [J]. Computer Engineering, 2011, 37(4), 170-171. (in Chinese)

[15] 刘木兰. Groebner 基理论及其应用 [M]. 北京: 科学出版社, 2000, 1(3): 159-207.

LIU Mulan. Groebner basis and its applications [M]. Beijing: Science Press, 2000, 1(3): 159-207. (in Chinese)